

مورفوتکتونیک و تأثیر آن بر تغییرات بستر و الگوی رودخانه‌ی قره سو

مجتبی یمانی (دانشیار ژئومورفولوژی دانشگاه تهران، نویسنده‌ی مسؤل)

myamani@ut.ac.ir

محمود علایی طالقانی (استادیار ژئومورفولوژی دانشگاه رازی کرمانشاه)

صبریه شهبازی (کارشناس ارشد ژئومورفولوژی دانشگاه تهران)

چکیده

رودخانه‌ها محیط‌های ناپایداری هستند، که تحت تأثیر عوامل طبیعی یا انسانی، دچار تغییر مسیر و تغییر الگو می‌شوند. در این پژوهش، اثرات تکتونیک بر الگوی رودخانه‌ی قره سو در محدوده‌ی شهر کرمانشاه مورد بررسی قرار می‌گیرد. ابزارهای اصلی تحقیق را عکس‌های هوایی سال‌های ۱۳۳۵ و ۱۳۸۰ و نیز تصاویر ماهواره‌ای ETM، الگوی ارتفاعی رقومی (DEM)^۱ سال ۲۰۰۰ و همچنین نقشه‌های توپوگرافی و زمین‌شناسی منطقه تشکیل داده‌اند. تکنیک کار تحقیق، بررسی ارتباط تأثیر گسل قرسو از یک سو و تغییرات بستر و الگوی رودخانه‌ی قره سو از سوی دیگر طی یک دوره چهل و پنج ساله بوده است. بدین منظور با انجام کارهای میدانی، ضمن نمونه برداری رسوب، برای بررسی تغییرات، پروفیل‌های عرضی از آبراهه برداشت شده و موقعیت آنها با GPS ثبت و روی نقشه‌ها انتقال داده شده است. سپس داده‌ها با استفاده از شاخص‌های ضریب خمیدگی و زاویه‌ی مرکزی در قالب نرم افزارهای ArcGIS و Global Mapper تجزیه و تحلیل شده‌اند. گسل قره سو منطبق با بستر اصلی رودخانه بوده و نتایج نشان می‌دهد که الگوی رود قره سو از فعالیت این گسل تأثیر پذیرفته است، زیرا تغییرات عرضی و الگوی بستر این رودخانه در دو ساحل یکسان نبوده و با راستای جهش گسل مذکور انطباق دارد. به گونه‌ای که پیچان رودها در ساحل شرقی آبراهه که در بخش فرو دیواره گسل قرار گرفته است، توسعه‌ی بیشتری یافته‌اند.

کلیدواژه‌ها: پیچان رود، رود قره سو، گسل قره سو، تکتونیک، کرمانشاه.

1. Digital Elevation Models

درآمد:

دسترسی به آب و خاک مناسب، موجب شده است تا بخش عمده‌ای از آبادی‌ها و اراضی زراعی ایران در سواحل رودخانه‌ها استقرار یابند. این سواحل تحت تأثیر عواملی چون: تکتونیک، دینامیک جریان و یا فعالیت‌های انسانی پایدار نیستند. مطالعات و بررسی‌ها عموماً برای دستیابی به راهکارها و سیاست‌های اجرایی به منظور پایدارسازی آنها انجام می‌پذیرد. در این راستا در ایران و سایر کشورها کارهای متعددی در زمینه‌ی رودخانه‌ها صورت گرفته است، از جمله‌ی آنها تحقیقاتی است که: چامیل و همکاران^۱ (۲۰۰۳) نقش تکتونیک و محیط را در کواترنری پسین بر روی سیستم‌های فلوویال بررسی کرده اند. تیمار^۲ (۲۰۰۳) تغییرات سینوسیت‌ی رودخانه‌ها را در یک رودخانه‌ی نمونه بررسی کرده و انحناى خط القعر را به وسیله‌ی مقاطع آبرفتی رودخانه‌ی اصلی اندازه‌گیری نموده و سپس میان تغییرات سینوسیت با تغییرات بار رسوبی و دبی در انشعابات ورودی ارتباط برقرار نموده است. تحقیقات وی نشان داد که در مناطقی با تغییر شکل فعال شبیه فرو نشینی تفریقی و مناطق گسلی پیچیده ارتباط قابل توجهی وجود دارد. ویکرانت و سینها^۳ (۲۰۰۵) به بررسی اثرات تکتونیک فعال روی یک رودخانه‌ی آبرفتی در هند شرقی با استفاده از تصاویر ماهواره‌ای و مشاهدات میدانی و الگوی ارتفاعی رقومی منطقه پرداخته‌اند و نشان داده‌اند که اثرات انحراف طولی و عرضی در تغییرات مورفولوژیکی رودخانه و نیز زمین‌هایی که بر اثر تغییر مسیر رودخانه جدا شده اند، مشاهده می‌شود. پتروسکی و تیمار^۴ (۲۰۰۹) نیز در مقاله‌ای، سینوسیت‌ی سیستم یک رودخانه را در کشور رومانی بررسی کرده‌اند و احتمال فعالیت تکتونیک با استفاده از نقشه‌های تاریخی تصحیح شده را محاسبه و با استفاده از نرم افزار GIS مقدار سینوسیت و مقاطع طولی رودخانه را به دست آورده اند و سپس نشان داده اند که مقاطع با سینوسیت‌ی بالا با فعالیت‌های نئوتکتونیک ارتباط دارند. همچنین نتایج آنها نشان داد در مقاطعی که سینوسیت‌ی کم دارند،

1. Chamyal& etal

2. Timar

3. Vikrant & Sinha

4. Timar & Petrovszki

مانداب تشکیل شده و نیمرخ رودخانه با مناطقی با فرونشینی سریع ارتباط دارند. زامولی و همکاران^۱ (۲۰۰۹) درباره‌ی تأثیر نئوتکتونیک بر سینوسیته‌ی یک رودخانه و بررسی فعالیت‌های نئوتکتونیک بر این رودخانه، با استفاده از نقشه‌های ژئورفرنس شده، پرداخته‌اند. نتایج، یک توزیع فضایی از نوسانات سینوسی و ارتباط آن را با گسل‌های میوسن پایانی نشان می‌دهد. در واقع محاسبات سینوسیته‌ی رودخانه، ابزاری حساس برای اثبات فعالیت نئوتکتونیک در مناطق با آرامش پایین هستند. همچنین حسینی و زاخری (۱۳۸۰) جابه‌جایی‌های افقی را در رودخانه‌های آبرفتی، مانند کرخه و زهره، مورد بررسی قرار داده‌اند. داور پناه (۱۳۸۱)، مورفولوژی پایاب زنجان رود و عوامل مؤثر در آن را در یک دوره سی و پنج ساله مورد بررسی قرار داده و ثابت کرده است که عوامل طبیعی و انسانی باعث ایجاد تغییرات مورفولوژیکی در پایاب زنجان رود می‌شود. یمانی و حسین زاده (۱۳۸۲)، در پژوهشی به بررسی تغییرات الگوی رودخانه‌ی تالار در جلگه‌ی ساحلی دریای خزر پرداخته‌اند. در این پژوهش، تغییرات الگوی رودخانه‌های تالار در ساحل جنوبی خزر در فاصله‌ی زمانی سی و نه ساله با روش‌های تغییرات زمانی و مکانی، روش گرافیکی و روش میدانی مورد بررسی قرار گرفته است و تغییرات الگو و شکل‌های مختلف تغییر شکل و نیز جابه‌جایی مسیر بستر این رودخانه‌ها تعیین و برآورد شده است. همچنین در این پژوهش از داده‌های هیدرولیک جریان و پارامترهای هندسی کانال برای تحلیل استفاده شده است. غریب رضا (۱۳۸۱)، مشخصه‌های هندسی و وسعت اجزا رود شور را در دشت ساحلی خور ریگ با استفاده از پیمایش میدانی و عکس‌های هوایی در سیستم اطلاعات جغرافیایی به دست آورده است. رنگزن و همکاران (۱۳۸۱) نیز وضعیت رودخانه‌های کارون، کرخه و دز را با استفاده از تصاویر ماهواره‌ای بررسی کرده و اثرات آنها را در سازه‌های عمرانی منطقه در طول زمان مشخص نموده‌اند. یمانی و حسین زاده (۱۳۸۳)، در پژوهش دیگری به بررسی الگوی پیچان رودی رودخانه تالار پرداخته‌اند و برای تعیین الگوی این رودخانه از ضریب خمیدگی به روش لئوپلد و ولمن و نیز روش زاویه مرکزی به روش

1. Zamolyi & et, al

کورنایس^۱ استفاده کرده اند و بیست و شش درصد از رودخانه‌ی تالار را در زمهره‌ی پیچان رودهای تکامل یافته قرار داده اند. بیاتی خطیبی (۱۳۸۵)، علل تشکیل و توسعه پیچان رودها و فرضیه‌های مطرح شده در مورد چگونگی تشکیل پیچان رودها را بررسی کرده است. محمدی و همکاران (۱۳۸۵)، به بررسی و شناخت تغییرات مورفولوژیکی رودخانه‌ی گرگان‌رود پرداخته اند و این رودخانه را به دو بازه تقسیم کرده و در هر بخش ضرایب مربوط به مورفولوژی رودخانه را مورد محاسبه قرار داده اند. مقصودی و کامرانی (۱۳۸۷) نقش تکتونیک را بر تنظیم کانال رودخانه‌ی تجن با استفاده از چند شاخص ژئومورفولوژیکی و نرم افزاری (ArcGIS، Photoshop و Ilwis) بررسی کرده و نتیجه گرفتند که منطقه از نظر فعالیت‌های نئوتکتونیک فعال است، اما میزان این فعالیت در همه جای آن یکسان نیست.

با توجه به مطالعات گذشته در موضوع تأثیر پارامترهای هیدرو مورفودینامیک در تغییرات بستر رودخانه‌ها، اهداف عمده‌ی این تحقیق، تشخیص الگو و تعیین خصوصیات هندسی رودخانه (ضریب پیچشی، شیب، ابعاد پیچان رودها، زاویه مرکزی و...) و نیز بررسی نحوه‌ی توسعه و تکامل پیچان رودها در دو سوی گسل قره سو و سپس بررسی مساحت سطوح تحت پوشش تغییرات بستر و مئاندرهای رودخانه و تطبیق آن با تکتونیک گسل بوده است. بر این اساس، پایه‌ی تحقیق بر این فرضیه استوار شده است که مسیر اصلی رود قره سو با امتداد خط گسل قره سو انطباق یافته و راستای جهش قطعات این گسل در تغییرات الگوی بستر رودخانه‌ی تأثیرگذار می‌باشد. همچنین در نتیجه‌ی تأثیر این عوامل، میزان توسعه یافتگی پیچان رودها در دو سوی گسل قره سو، که منطبق با مسیر آبراهه‌ی اصلی است، یکسان نیست.

محدوده‌ی مورد مطالعه

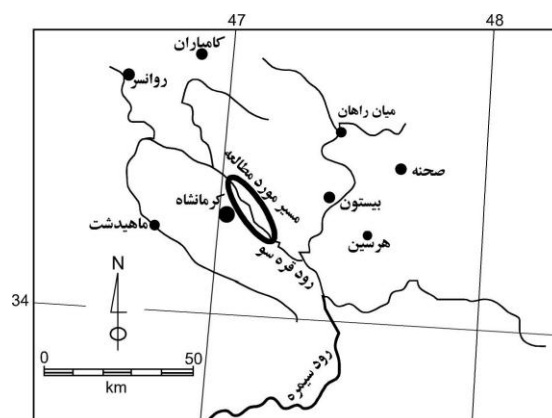
محدوده‌ی مورد مطالعه، بازه‌ای از رودخانه‌ی قره سو به طول تقریبی ۲۰/۷ کیلومتر را در بر می‌گیرد که در محدوده‌ی سیاسی استان کرمانشاه واقع شده است (شکل ۱). رودخانه‌ی قره سو از شرق شهر کرمانشاه عبور می‌کند و در محدوده‌ی سیاسی شهر کرمانشاه واقع شده است. شهر کرمانشاه

1. Kornis

واقع در شرق استان کرمانشاه بین $19^{\circ}34'$ عرض شمالی و $47^{\circ}07'$ طول شرقی از نصف النهار مبدأ قرار دارد، ارتفاع شهر از سطح دریا ۱۳۲۲ متر است. حوضه‌ی آبریز رودخانه‌ی قره سو، مناطق روانسر، سنجابی، ماهیدشت، کامیاران، بیله وار، میان دربند و کرمانشاه را تحت پوشش دارد. سیستم قره سو از به هم پیوستن دوشاخه‌ی اصلی مرک^۱ و رازآور به وجود آمده است. سرچشمه‌ی اصلی رودخانه‌ی قره سو، چشمه‌های روانسر در حدود ۶۰ کیلومتری شمال غربی شهر کرمانشاه است. که در مسیر خود ضمن تلاقی با مسیل‌ها و آبراهه‌های جاری از شیب‌های جنوب غربی کوه شاهو از عمده ترین رشته کوه‌های زاگرس در مسیر جاده روانسر به پاوه و همین طور مسیل‌ها و آبراهه‌های جاری از شمال غربی حوضه به صورت شمال غربی - جنوب شرقی جریان می‌یابد (مهندسین مشاور گاماسیاب، ۱۳۷۵، ۲۹).

رودخانه‌ی قره سو از شاخه‌های مهم و اولیه‌ی رودخانه سیمره بوده و آب قسمت‌هایی از استان‌های کرمانشاه و کردستان را جمع‌آوری و به رودخانه سیمره هدایت می‌کند. قره سو در ادامه‌ی جریان خود پس از گذر از کرمانشاه از روستاهای متعددی عبور کرده و سرانجام به رودخانه‌ی گاماسیاب و از طریق آن به رودخانه سیمره می‌ریزد (شکل ۱). این رودخانه دارای آب دائمی بوده و آب آن از ذوب برف و زه‌کشی آب‌های زیر زمینی و چشمه‌های آهکی تأمین می‌شود (سازمان آب منطقه‌ای غرب، ۱۳۸۲، ۱).

شکل ۱: موقعیت بازه‌ی مورد مطالعه در مسیر رود قره سو در مشرق شهر کرمانشاه



مواد و روش‌ها

در این پژوهش یک بازه‌ی بیست کیلومتری از مسیر آبراهه‌ی رودخانه قره سو، درست در بخش غربی و شمال غربی شهر کرمانشاه، انتخاب شده است. از دیدگاه بنیادی هدف بررسی تأثیر گسل قرسو در مورفولوژی و الگوی رودخانه قرسو و از دیدگاه کاربردی نیز هدف بررسی تأثیرات مستقیم و غیر مستقیم تحولات آبراهه‌ی رودخانه‌ی قرسو بر اهداف توسعه‌ی آبی شهر کرمانشاه بوده است. برای دست یابی به این هدف، داده‌های مربوط به پیچان رودها و عوامل مؤثر در تشکیل آنها و نیز روش مطالعه تغییرات دوره‌ای مورفولوژی رودخانه‌ها به روش کتابخانه‌ای گرد آوری شده است. همچنین مطالعات محققین پیشین از همین طریق مورد بررسی و روش‌های مورد استفاده در این پژوهش عمدتاً از این منابع بر گرفته شده‌اند. نقشه‌های توپوگرافی (سازمان جغرافیایی کشور، ۱۳۶۵)، زمین شناسی (سازمان زمین شناسی کشور، ۱۳۷۳)، تکتونیک و عکس‌های هوایی سال‌های ۱۳۸۰ و ۱۳۳۵ (سازمان نقشه برداری کشور، ۱۳۸۰)، ابزارهای اصلی را تشکیل داده‌اند. نقشه‌ها در محیط نرم افزار Arc GIS ژئو رفرنس شده و مسیر رودخانه در سال ۱۳۳۵ و ۱۳۸۰ از روی عکس‌های هوایی استخراج گردیده و با مسیر و امتداد گسل قره سو تطبیق داده شده است. برای بررسی راستای تغییرات آبراهه، طی کارهای میدانی، بیست و چهار پروفیل عرضی از مسیر بستر برداشت شده و موقعیت آنها با GPS ثبت و روی نقشه‌ها انتقال داده شده است (شکل ۳). این پروفیل‌ها به روش سوپر ایمپوزه با یکدیگر تلفیق شده و بر اساس تمایل جانبی رودخانه بررسی شده است. همچنین با استفاده از ترسیم دوایر مماس بر قوس‌های رودخانه، پارامترهای هندسی مانند: زاویه‌ی مرکزی، ضریب انحنا، طول قوس، طول موج و شعاع دایره به دست آمد. با استفاده از شاخص زاویه مرکزی (روش کورنایس) و شاخص ضریب انحنا (روش پیتز^۱) که شاخص‌هایی برای نشان دادن الگوی رودخانه و میزان توسعه یافتگی پیچان رودها هستند، الگوی رودخانه

1. Peetz 1986

و میزان توسعه یافتگی پیچان رودها مشخص شد. با استفاده از نرم افزار Arc GIS و الگوی ارتفاعی رقومی منطقه، راستای جهش گسل با سطوح تغییرات بستر رودخانه، اندازه‌گیری و مقایسه شد. در نهایت در محیط نرم افزار Global Mapper سطوح ممانداری بین گسل و رودخانه مشخص و سطوح آن اندازه‌گیری شده است. همچنین میزان زاویه‌ی مرکزی و میزان ضریب انحنای قوس‌های مسیر آبراهه در بخش‌های فرا رو و فرو رو گسل قره سو اندازه‌گیری، محاسبه و سرانجام دامنه توسعه یافتگی هر کدام در این دو بخش با یکدیگر مقایسه و بر اساس اختلافات موجود نتیجه‌گیری شده است.

یافته‌های پژوهش

ویژگی‌های رسوب رودخانه

به طور کلی بافت رسوب یک آبراهه، نقش تعیین‌کننده‌ای در رفتار رود و الگوی آبراهه دارد. به عبارتی هر قدر بافت ریزتر باشد، تحول آبراهه بیشتر بوده و پیچان‌رودها در زمان کوتاه تری توسعه می‌یابند (یمانی و همکار، ۱۳۸۳، ۱۵۰). برای این منظور، نمونه برداری رسوبات از بستر و شیب کناره رودخانه قره سو در چهار مقطع^(۱) صورت گرفته است. رسوبات در آزمایشگاه خشک و توسط دستگاه شیکر، دانه‌سنجی شده‌اند. نتایج نمونه برداری‌های چهار مقطع، نشان می‌دهد که بافت غالب رسوب رودخانه (بیش از نود درصد) بسیار ریز دانه بوده و در حد رس و سیلت می‌باشد. همچنین مقایسه‌ی بافت رسوب در نیمه‌ی غربی آبراهه با نیمه‌ی شرقی آن نشان می‌دهد که در بخش غربی بستر به طور میانگین ۹۵/۵ درصد رسوبات را سیلت و رس (ذرات با قطر کمتر از ۲۵۰ میکرون) تشکیل می‌دهد و در مقاطع قسمت شرقی بستر رودخانه میزان این ذرات به ۸۶/۸ درصد می‌رسد (جدول ۱). با استناد به مبانی نظری، از آنجا که قطر ذرات به طور مستقیم وابسته به نیروی جریان است، بنابر این تمایل جریان آبراهه به سمت نیمه‌ی غربی رودخانه نشان از فعال تر بودن جریان در این بخش دارد. با این وجود به

نظر می‌رسد برای دست‌یابی به نتایج دقیق‌تر در این خصوص نیازمند افزایش تعداد نمونه برداری‌ها و کارهای آزمایشگاهی تفصیلی است.

جدول ۱: میانگین نتایج نمونه برداری رسوبات از بستر رودخانه

قطر ذرات (میکرن)	بستر نیمه شرقی رودخانه			بستر نیمه غربی رودخانه		
	وزن (گرم)	وزن تجمعی (گرم)	درصد	وزن (گرم)	وزن تجمعی (گرم)	درصد
<۲۵۰	۲۶۰/۹	۳۰۰	۸۶/۸۳	۲۸۷	۳۰۰	۹۵/۵۷
۲۵۰-۳۰۰	۷/۳	۳۹/۱	۲/۴۵	۳/۲	۱۲/۷۵	۱/۱۶
۳۰۰-۴۰۰	۴/۳	۳۱/۸	۱/۵	۱/۷	۹/۵	۰/۶۲
۴۰۰-۶۰۰	۶/۸	۲۷/۵	۲/۲۴	۱/۲	۷/۸	۰/۴۹
۶۰۰-۸۵۰	۸/۵	۲۰/۷۵	۲/۸	۲/۱	۶/۶۲	۰/۶۲
>۸۵۰	۱۲/۲۵	۱۲/۲۵	۴	۴/۵	۴/۵	۱/۴۹

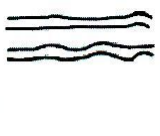
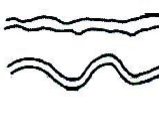
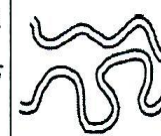
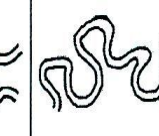
الگوی رودخانه^۱

با توجه به شاخص ضریب خمیدگی طرح شده از سوی لئوپلد و ولمن^۲ (۱۹۷۵) که در تحلیل تعدادی از رودخانه‌های آمریکا به‌کار برده‌اند، مقدار ضریب پیچشی می‌تواند برای رودخانه‌ها از ۱/۵ تا ۲/۸ تغییر کند (دولتی، ۱۳۸۷: ۱۳۹). آل یاسین ۱۳۷۹ ضریب پیچشی بزرگتر از ۱/۴ تا ۱/۵ را بیانگر پیچشی بودن رودخانه و کمتر از آن را، نشان مستقیم بودن رودخانه دانسته است. اما (پیتز ۱۹۸۶) بر حسب میزان ضریب پیچشی چهار نوع رودخانه را بر حسب (جدول ۲) تقسیم بندی می‌کند (دولتی، ۱۳۸۷، ۱۳۹).

1. River Pattern

2. Leopold L. B. & Wolman M. G.

جدول ۲: تقسیم بندی رودخانه بر حسب ضریب پیچشی (پیتز، ۱۹۸۶)

ضریب پیچشی	۱-۱/۰۵	۱/۰۶-۱/۲۵	۱/۲۵-۲	>۲
شمای رودخانه				
نوع رودخانه	مستقیم	سینوسی	پیچانرودی	پیچانرودی شدید

برای رودخانه‌ی قره سو با استفاده از شاخص پیتز ضریب پیچشی (مقدار سینوسیته) محاسبه گردید. مقدار سینوسیته یک رود، نسبتی است از طول کانال رودخانه به طول دره (سلیمانی، ۱۳۷۸: ۱۹).

$$S=c/v$$

S: سینوسیته‌ی رودخانه؛

C: طول کانال رودخانه؛

V: طول دره در فاصله بین قله دو مئاندر پیاپی.

با استفاده از رابطه‌ی بالا برای رودخانه‌ی قره سو میانگین ضریب پیچشی ۱/۴۲ به دست آمده است.

جدول ۳: تقسیم بندی رودخانه‌ی قره سو براساس شاخص ضریب انحنا به روش پیتز

نوع رودخانه	مستقیم	سینوسی	پیچانرودی	پیچانرودی شدید
مقدار (درصد)	۰/۰ ۱۴	۰/۰ ۳۶	۰/۰ ۴۴	۰/۰ ۶

همان طور که جدول شماره ۳ نشان می‌دهد، بیشترین مسیر رودخانه (با میانگین ۰/۰ ۴۴) جزو رودخانه‌های پیچان رودی است که ضریب پیچشی برای آنها در محدوده‌ی بین ۱/۲۵ تا ۲ قرار می‌گیرد.

زاویه‌ی مرکزی به عنوان معیاری جهت تقسیم بندی و شناسایی میزان توسعه‌ی پیچان رودی یک رودخانه، مورد استفاده قرار می‌گیرد. اگر از مرکز دواير مماس بر قوس رودخانه دو شعاع به نقاط عطف دواير با دره‌ی رودخانه ترسیم شود به زاویه‌ی ایجاد شده زاویه‌ی مرکزی و شعاع دایره‌ی مماس بر قوس‌ها شعاع دایره گفته می‌شود (تلوری، ۱۳۷۳). برای به‌دست آوردن زاویه‌ی مرکزی از فرمول زیر استفاده شده است: زاویه‌ی مرکزی^۱ پیچان رود: زاویه مرکزی حاصل از اتصال دو شعاع به نقطه‌ی عطف هر قوس که در آن A زاویه مرکزی و L طول قوس می‌باشد (تلوری، ۱۳۷۳).

$$A=180/LR\pi$$

میانگین زاویه‌ی مرکزی برای رودخانه‌ی قره سو در سال ۱۳۸۰ معادل ۱۱۱/۴۵ بوده است. براساس نظر کورنایس (جدول ۴) این رودخانه در رده‌ی رودخانه‌های مئاندري توسعه یافته، طبقه بندی می‌شود.

جدول ۴: انواع رودخانه‌های آبرفتی براساس نظر کورنایس (یمانی و همکار، ۱۳۸۳: ۱۴۹)

میزان زاویه‌ی مرکزی (درجه)	شکل رودخانه
-	رودخانه‌ی مستقیم
۰ تا ۴۱	رودخانه‌ی شبه مئاندري
۴۱ تا ۸۵	رودخانه‌ی مئاندري توسعه نیافته
۸۵ تا ۱۵۸	رودخانه‌ی مئاندري توسعه یافته
۱۵۸ تا ۲۹۶	رودخانه‌ی مئاندري بیش از حد توسعه یافته
بیش از ۲۹۶	رودخانه‌ی شاخ گاو ^۲

جدول ۵: تقسیم بندی رودخانه‌ی قره سو براساس روش کورنایس

سال	رودخانه‌ی شبه مئاندري	رودخانه‌ی مئاندري توسعه نیافته	رودخانه‌ی مئاندري توسعه یافته	رودخانه‌ی مئاندري بیش از حد توسعه یافته
۱۳۸۰	٪۶	٪۲۶	٪۵۶	٪۱۲

1. Central Angle
2. Oxbow

بر اساس جدول بالا ۵۶٪ رودخانه در زمان مورد مطالعه جزو رودخانه‌های مئاندری توسعه یافته بوده است.

به‌طور کلی، مشخصات پارامترهای هندسی رودخانه در سال ۱۳۸۰ برای رودخانه‌ی قره سو، منطبق با داده‌های جدول شماره ۶ بوده است.

جدول ۶: مشخصات پارامترهای هندسی در رودخانه‌ی قره سو

تعداد مئاندر	میانگین زاویه مرکزی (درجه)	میانگین ضریب سینوسی	میانگین طول قوس (متر)	میانگین طول موج (متر)	میانگین شعاع دایره (متر)
۵۰	۱۱۱/۴۵	۱/۴۲	۷۰۵/۹۵	۵۲۲/۴۳	۱۸۴/۲۸

در میان روش‌های زمین‌شناختی برای مطالعه‌ی حرکات تکتونیکی فعال، بررسی‌های ژئومورفولوژی و مورفوتکتونیک نقش بسیار مهمی را ایفا می‌کند، زیرا بسیاری از عوارض ژئومورفویک در مقابل حرکات تکتونیکی فعال بسیار حساس هستند، نرخ تحلیل‌های هندسی آن‌ها، نشانه‌ها و شواهدی پیرامون یا سرعت، نوع و آرایش تغییر شکل‌های تکتونیکی فعال را برای ما ارائه می‌دهد (سلیمانی، ۱۳۷۸: ۴).

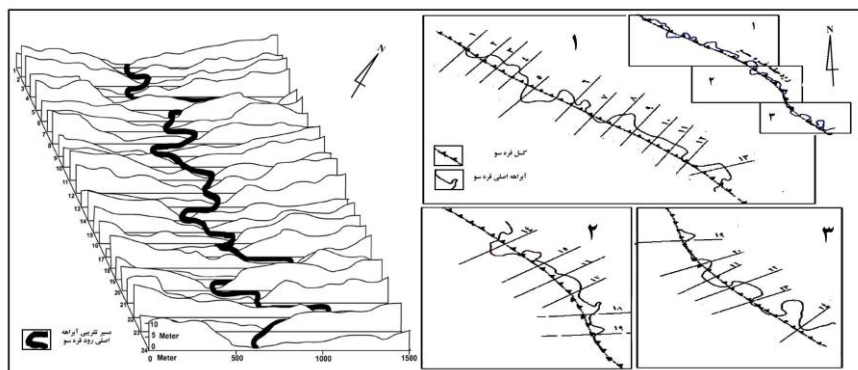
مورفوتکتونیک گسل قره سو

با استناد به مبانی نظری، توسعه‌ی مئاندری و جابه‌جایی رودخانه‌ها در عرض دره‌ها، می‌تواند نتیجه‌ی کج‌شدگی عرضی دره باشد. به ویژه، زمانی که امتداد طولی دره هم‌روند با امتداد یک گسل فعال شیب لغز باشد. در این شرایط، معمولاً جریان رود به سمت بخش پست تر با قطعه‌ی فرو روی گسل تمایل پیدا کرده و یا به سمت پایین سرایشی جابه‌جا می‌شود. سرانجام رودخانه در بخش فرو روی دره که به آن سمت تمایل یافته است، متمرکز می‌شود (سلیمانی، ۱۳۷۸: ۱۷).

رودخانه‌ی قره سو در بستری پوشیده از رسوبات آبرفتی کواترنر جریان دارد. این رودخانه از جمله رودخانه‌هایی با قوس‌های سطحی آزاد است و دقیقاً مسیر گسل قره سو را دنبال می‌کند. گسل از نوع رورانده است و راستای شمال غربی جنوب شرقی داشته و با مسیر رودخانه مورد مطالعه

منطبق است. نگاه این گسل نیز به سمت شمال بوده و توسط رسوبات آبرفتی کواترنر پوشیده شده است (شکل ۳).

برای بررسی اثرات گسل قره سو بر روی رودخانه‌ی قره سو، کار میدانی تفصیلی در طول بازه‌ی مورد بررسی انجام شده و طی آن بیست و چهار پروفیل عرضی با فواصل تقریبی هشتصد متر تا یک کیلومتر از یکدیگر به صورت انتخابی برداشت گردید. موقعیت این پروفیل‌ها توسط GPS مارک شده و روی نقشه انتقال داده شده است. از آن‌جا که بیست و چهار پروفیل برداشت شده حجم زیادی داشته است، تمامی آنها در قالب یک بلوک دیاگرام به روش سوپر ایمپوزه ترکیب و تلفیق شده‌اند (شکل ۲). بررسی بلوک دیاگرام و راستای توسعه فوس‌های مئاندری، تمایل توسعه‌ی الگوی رودخانه را به سوی نیمه‌ی غربی به خوبی نشان می‌دهد. علاوه بر این، برای کنترل دقیق‌تر یافته‌ها، ابتدا توسط نرم افزار Arc GIS مسیر گسل از نقشه‌ی زمین شناسی منطقه‌ی رقومی و استخراج شد، سپس با استفاده از الگوی ارتفاعی رقومی منطقه‌ی مورد مطالعه، در سه نقطه از مسیر گسل پروفیل دقیق ترسیم شده و راستای جهش گسل با توپوگرافی عرضی بستر تطبیق داده شد. در نهایت به بررسی و تحلیل پارامترهای هندسی به دست آمده در دو سمت "فرا رو" و "فرو رو" گسل پرداخته شده است (شکل ۳).

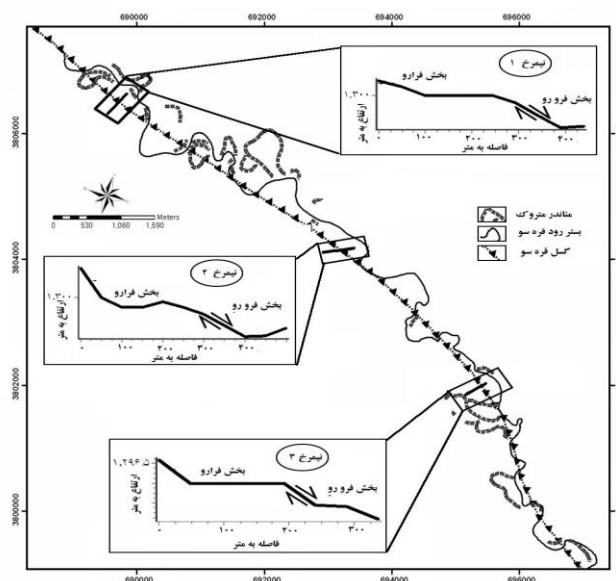


شکل ۲: سمت چپ موقعیت برداشت ۲۴ پروفیل عرضی از مسیر آبراهه‌ی قره سو و در سمت راست تلفیق آنها به روش سوپر ایمپوزه و نمایش آنها را در قالب بلوک دیاگرام را نشان می‌دهد.

بخش فرو رو گسل قره سو در غرب موجب عدم تقارن بستر و در نهایت توسعه‌ی قوس‌های پیچان رودی را به سمت نیمه‌ی غربی به دنبال داشته است.

شکل ۳: راستای جهش گسل و جهت گیری رودخانه قره سو نسبت به آن در سه مقطع شاخص

در طول مسیر آبراهه.



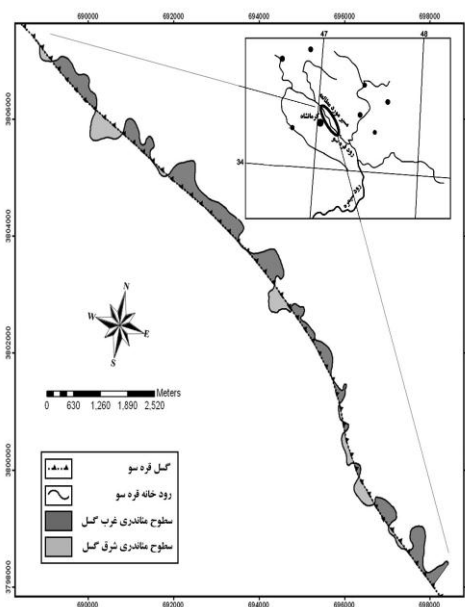
در مرحله‌ی بعد، یافته‌ها با نتایج محاسبات حاصل از بررسی پارامترهای هندسی رودخانه در دو بخش فرا رو و فرو رو گسل مورد بررسی قرار گرفته و تطبیق داده شد، که نتایج آن در جدول شماره ۷ آمده است.

جدول ۷: نتایج مشخصات پارامترهای هندسی رودخانه‌ی قره سو در دو بخش فرا رو و فرو رو گسل

تعداد منادر متروک	تعداد منادر فعال	میانگین ضریب انحنا	میانگین زاویه مرکزی (درجه)	میانگین شعاع دایره (متر)	
۶	۱۵	۱/۲۵	۱۰۳/۳۴	۱۹۸/۱۲	بخش فرا رو
۱۸	۳۵	۱/۵۰	۱۱۵/۳۶	۱۷۸/۳۵	بخش فرورو

پس از این که راستای جهش گسل مشخص شد، برای به دست آمدن مساحت سطوح مئاندري بين بخش‌های فروروگسل (شمال غربی گسل قره سو) و فراروگسل (جنوب شرقی گسل قره سو) و رودخانه‌ی قره سو اندازه‌گیری انجام شد. برای این منظور در نرم افزار Global Mapper مسیر گسل و رودخانه بر هم منطبق و سطوح مئاندري با توجه به روند جهش گسل محاسبه شد. این نتایج نشان می‌دهند که مساحت سطوح مئاندري بين آبراهه‌ی اصلی رودخانه و بخش فراروی گسل قره سو معادل $627/88$ کیلومتر مربع و نیز بين آبراهه‌ی اصلی و بخش فرورو (شمال غربی گسل) معادل $2018/362$ کیلومتر مربع می‌باشد (شکل ۴).

شکل ۴: اختلاف وسعت سطوح مئاندري در طرفین گسل قره سو

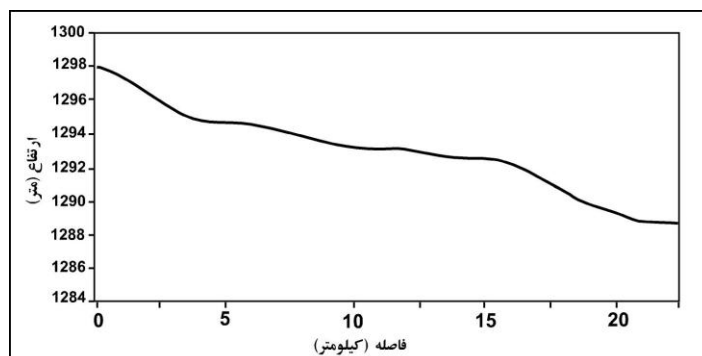


علاوه بر این، برای بررسی تغییرات زمانی بستر رودخانه‌ی قره سو، مسیر رودخانه نیز طی دو دوره‌ی زمانی مورد مطالعه (۸۰ - ۱۳۳۴) از عکس‌های هوایی استخراج شد. سپس مسیر آبراهه در دو سری عکس هوایی و با استفاده از نرم افزار بر هم منطبق شد. در پایان تغییرات صورت گرفته در مسیر آبراهه‌ی اصلی مشخص و ترسیم شد. بررسی دو دوره عکس‌های هوایی نشان می‌دهد که

مورفولوژی و مسیر کلی رودخانه طی چهل و پنج سال گذشته تغییرات عمده‌ای نداشته است، بلکه تغییرات عمدتاً در الگوی رودخانه بوده که طی آن حلقه‌های پیچان رودی گسترش یافته‌اند. بدیهی است تغییرات کلی مورفولوژی رودخانه‌ها مستلزم گذشت زمان طولانی تری است، حتی به نظر می‌رسد تغییرات مئاندری در برخی از قسمت‌های رودخانه، نتیجه‌ی دخالت‌های انسانی و ساخت و سازهایی بوده است که در حریم این رودخانه صورت گرفته است. عمده‌ترین تغییرات آن مربوط به سال‌های قبل از ۱۳۳۵ بوده است. در این دوره توسعه‌ی دریاچه‌های نعل اسبی شکل و cutoff در حاشیه‌ی رودخانه از توسعه‌ی بیشتری برخوردار بوده‌اند.

نتیجه گیری

معمولاً رودخانه‌ای که بار رسوبات آن رس و سیلت باشد، نسبت به آبراهه‌ای که دارای بار رسوبی ماسه و ریگ است، فعال و ناپایدارتر بوده و کانال اصلی معمولاً باریکتر و عمیق‌تر است. رودخانه‌ی قره‌سو در دشت ناودیسی کرمانشاه که با ضخامت زیادی از آبرفت‌های کوتاه‌تر پوشیده شده است، جریان دارد. نتایج نمونه برداری رسوبات نشان می‌دهد که بار رسوبی این رودخانه عمدتاً رس و سیلت می‌باشد. این ویژگی نشانگر مستعد بودن آبراهه برای ناپایداری‌های بستر و تغییرات الگو و نیز توسعه‌ی پیچان رودها در زمان کوتاه‌تری می‌باشد. شیب رودخانه نیز از بالا دست به سمت پایین تغییرات کمتری دارد (شکل ۵). اختلاف ارتفاع حدود هشت متر در بازه‌ای به طول بیست کیلومتر و شیب بسیار کم مسیر آبراهه، کم بودن سرعت و قدرت جریان و تحت تأثیر آن کاهش بافت رسوب را توجیه می‌کند. از آنجا که رودخانه‌ی قره‌سو با محاسبه‌ی شاخص‌های موجود، جزو رودخانه‌های مئاندری توسعه یافته است، بنابر این خصوصیات رسوب شناسی و دینامیک ویژه‌ی آن یکی از دلایل عمده ناپایداری‌های موجود است.



شکل ۵: شیب بسیار کم آبراهه قره سو (۰/۰۴ درصد) در نیمرخ طولی آن کاهش سرعت و قدرت رود را به دنبال داشته و معلول آن ریز بافت بودن رسوبات رودخانه در حد سیلت و رس می‌باشد.

از نظر تکتونیکی نیز رودخانه‌ی قره سو، روند گسل قره سو را که از نوع رورانده است با جهتی شمال غربی - جنوب شرقی دنبال می‌کند. بررسی‌های صورت گرفته روی این رودخانه و نیز گسل قره سو و نیز داده‌های حاصل از تجزیه و تحلیل مورفولوژی آبراهه، نشان می‌دهد که رودخانه با داشتن ضریب انحناء $1/42$ و زاویه مرکزی $111/45$ از نوع رودخانه‌های پیچان رودی توسعه یافته است. همچنین بالا بودن میزان پارامترهای هندسی نظیر، تعداد مئاندرهای فعال رودخانه، تعداد مئاندرهای متروک، میانگین ضریب انحناء و میانگین زاویه مرکزی نشانگر آن هستند که بخش فرو رو گسل، نسبت به بخش فرارو آن دارای کج شدگی بوده و به سمت شمال آبراهه‌ی خود یا در واقع به سمت بخش فرو رو گسل تمایل دارد. همچنین پایین بودن میانگین شعاع دایره‌های ترسیم شده در قوس‌های رودخانه‌ای و در بخش فرو رو گسل نسبت به قطعه فرارو نشان می‌دهد که مئاندرهایی که در بخش فرارو گسل واقع شده است، کوچکتر و دارای انحنای بیشتری نسبت به قطعه مقابل خود است (جدول ۷). مساحت سطوح مئاندری بین رودخانه و بخش فرورو گسل تقریباً سه برابر سطوح مئاندری بین رودخانه و بخش فرارو آن است. این ارقام نشان می‌دهند که رودخانه به سمت بخش فرو رو گسل قره سو تمایل دارد (شکل ۴). میانگین زاویه‌ی مرکزی که

شاخصی برای میزان توسعه یافتگی پیچان رودها به حساب می‌آید. در بخش فرارو گسل معادل ۱۰۳/۳۴ و در بخش فرورو گسل معادل ۱۱۵/۳۶ می‌باشد. این داده‌ها ثابت می‌کنند که در قطعه فرورو گسل، پیچان رودها توسعه یافته تر هستند. با توجه به نتایج بالا می‌توان گفت رودخانه‌ی قره سو از نظر تغییرات طولی خود آزاد است، اما گسل قره سو تغییرات عرضی آن را تحت کنترل در آورده است. به گونه‌ای که رودخانه به سمت قطعه‌ی فرورو گسل تمایل پیدا کرده است و این نتیجه، فرضیه‌ی پژوهش را تأیید می‌کند.

یادداشت‌ها

۱. از آن‌جا که هدف بررسی تأثیر تکتونیک در تحول آبراهه بوده است بنابر این، نمونه برداری صرفاً از کناره غیر فعال رودخانه برداشت شده است. برای هر مقطع از محل کناره (حاشیه‌ی بستر پر آبی) تا کناره پرشیب (پادگانه) و در فواصل حدود دو متری و به روش انتخابی نمونه‌ها برداشت گردید. از هر مقطع حدود ده نمونه حدود نیم کیلوگرمی برداشت شده و سپس این ده نمونه با بیلچه به طور کامل مخلوط شدند. در نهایت حدود نیم کیلوگرم از نمونه مخلوط برای دانه سنجی بر داشت گردید. اضافه می‌نماید که دو مقطع نمونه گیری نیمه‌ی غربی و دو مقطع نیز نیمه‌ی شرقی بستر را پوشش داده و به تمام رودخانه تعمیم یافته اند. زیرا هدف بررسی ارتباط بافت رسوب با دینامیک جریان، توسعه یافتگی مائدرها و کج شده‌گی تکتونیک آبراهه بوده که با دانه سنجی رسوب در هر سوی رودخانه انجام شده است.

کتابنامه

۱. آل یاسین، احمد. (۱۳۷۹)، کاربرد مهندسی رودخانه در رودخانه‌های دز و کارون، کمیته‌ی ملی سدهای بزرگ ایران.
۲. بیاتی خطیبی، مریم. (۱۳۸۵)، بررسی علل تشکیل و توسعه‌ی پیچان‌ها در دره نواحی کوهستانی و نقش آنها در ناپایداری شیب‌ها و رسوب زایی رودخانه‌ها، رشد آموزش جغرافیا، شماره ۴: ۳۴-۴۰.
۳. تلوری، عبدالرسول. (۱۳۷۳)، اصول مقدماتی مهندسی و ساماندهی رودخانه، وزارت جهاد سازندگی، سازمان تحقیقات و آموزش کشاورزی.
۴. تلوری، عبدالرسول. (۱۳۷۳)، رودخانه‌ها و مشخصات هندسی آنها، تحقیقات جهاد کشاورزی.

۵. حسینی، شهاب‌الدین و حمیده زاخری. (۱۳۸۰)، بررسی جابه‌جایی‌های افقی در رودخانه‌های آبرفتی، آبانگان، شماره ۱۹: ۱۳.
۶. دولتی، جواد. (۱۳۸۷)، بررسی تغییرات ژئومورفولوژی بخش میانی اترک (با استفاده از GIS و سنجش از دور)، پایان‌نامه کارشناسی ارشد، راهنما مجتبی یمانی، دانشگاه تهران. دانشکده جغرافیا: ۱۳۹.
۷. داوودپناه، غلامرضا. (۱۳۸۱)، بررسی تغییرات مورفولوژی پایاب زنجارود و عوامل مؤثر در آن در یک دوره ۳۰ ساله، ششمین سمینار بین‌المللی رودخانه، دانشگاه شهید چمران اهواز: ۱۶۶-۱۶۱.
۸. رنگزن، کاظم و همکاران. (۱۳۸۱)، مطالعه‌ی اثرات مهاجرت رودخانه‌ها بر سازه‌های عمرانی در جلگه خوزستان با استفاده از داده‌های ماهواره‌ای، ششمین سمینار بین‌المللی رودخانه، دانشگاه شهید چمران اهواز: ۱۷۴-۱۶۹.
۹. سازمان آب منطقه‌ای غرب، مهندسین مشاور گاماسیاب. (۱۳۷۵)، مدیریت منابع و شبکه آب‌های سطحی.
۱۰. سازمان آب منطقه‌ای غرب؛ مرکز تحقیقات آب. (۱۳۸۲)، مطالعات مرحله دوم طرح ساماندهی رودخانه قره‌سو در محدوده شهر کرمانشاه، گزارش مطالعات هیدرولوژی، جلد دوم.
۱۱. سازمان جغرافیایی نیروهای مسلح. (۱۳۶۵)، نقشه توپوگرافی برگ کرمانشاه در مقیاس ۱:۵۰۰۰۰.
۱۲. سازمان جغرافیایی نیروهای مسلح. (۱۳۳۵)، عکس‌های هوایی مقیاس ۱:۵۰۰۰۰ محدوده شهر کرمانشاه.
۱۳. سازمان زمین‌شناسی کشور. (۱۳۷۳)، نقشه‌ی زمین‌شناسی مقیاس ۱:۱۰۰۰۰۰ کرمانشاه.
۱۴. سازمان نقشه برداری کشور. (۱۳۸۰)، عکس‌های هوایی مقیاس ۱:۴۰۰۰۰ محدوده شهر کرمانشاه.
۱۵. سلیمانی، شهریار. (۱۳۷۸)، رهنمودهایی در شناسایی حرکات تکتونیکی فعال و جوان، پژوهشگاه بین‌المللی زلزله‌شناسی و مهندسی زلزله: ۱۹.
۱۶. غریب‌رضا، محمدرضا و حمیدرضا معصومی. (۱۳۸۵)، مورفولوژی رودخانه زهره و تغییرات آن در جلگه ساحلی هندیجان، هفتمین سمینار بین‌المللی رودخانه.
۱۷. غریب‌رضا، محمدرضا. (۱۳۸۱)، تغییرات مورفولوژیکی رود شور گناوه، ششمین سمینار بین‌المللی رودخانه، دانشگاه شهید چمران اهواز: ۲۰۷-۲۰۱.
۱۸. محمدی، امین و همکاران. (۱۳۸۵)، بررسی و شناخت تغییرات مورفولوژیکی رودخانه گرگان‌رود، هفتمین سمینار بین‌المللی رودخانه.
۱۹. مقصودی، مهران و حمید کامرانی دلیر. (۱۳۸۷)، ارزیابی نقش تکتونیک فعال در تنظیم کانال رودخانه، مطالعه‌ی موردی رودخانه تجن، پژوهش‌های جغرافیایی، شماره ۶۶.

۲۰. یمانی، مجتبی و محمد مهدی حسین زاده. (۱۳۸۳)، بررسی الگوی پیچان رودی رودخانه تالار با استفاده از شاخص‌های ضریب خمیدگی و زاویه مرکزی، تحقیقات جغرافیایی، شماره ۷۳: ۱۵۴-۱۴۴.
۲۱. یمانی، مجتبی و محمد مهدی حسین زاده. (۱۳۸۲)، تغییرات الگوی رودخانه تالار در جلگه ساحلی دریای خزر، پژوهش‌های جغرافیایی، شماره ۴۳: ۱۰۹-۱۲۱.
22. Chamyal, L.S., D.M., Maurya, Rachna, Raj, (2003), *Fluvial systems of the dry lands of western India: A synthesis of Late Quaternary environmental and tectonic changes*, Pergamum, Department of Geology, M.S. University of Baroda, Vadodara 390002, India. 69-86
23. Leopold L. B. and Wolman M. G., 1957, *River Meanders*, Geol. Soc. America, Bull. 71.
24. Petrovszki, J. & Timar, G., (2009), *channel sinuosity of the Koros River system, Hungary/Romania, as possible indicator of the neotectonic activity*; Elsevier; department of Geophysics and space science. GEOMOR-03140; no of page 8
25. Timar, Gabor, (2003), *Controls on channel sinuosity changes: A case study of the Tisza River*, the Great Hungarian Plain; PERGAMON; Quaternary Science; space Research Group, Department of Geophysic. 2199-2207
26. Vikrant J. & R. Sinha, (2005), *Response of active tectonics on alluvial Bagmati River Himalayan foreland basin*, eastern India; Elsevier. 339-356
27. Zamolyi A. & B. Szekely, E. Dragainits, G. Timar; (2009); *Neotectonic control on river sinuosity at the western margin of the Little Hungarian Plain*; Elsevier Publisher. geomor -03026: no of page 13.